

## ТЕОРЕТИЧЕСКАЯ И МАТЕМАТИЧЕСКАЯ ФИЗИКА

**Асимптотика движения контрастной структуры типа всплеска  
в уравнении реакция–диффузия**Н. Н. Нефедов<sup>a</sup>, Ю. В. Божевольнов<sup>b</sup>, В. А. Пыркин*Московский государственный университет имени М. В. Ломоносова, физический факультет,  
кафедра математики. Россия, 119991, Москва, Ленинские горы, д. 1, стр. 2.**E-mail: <sup>a</sup>nefedov@phys.msu.ru, <sup>b</sup>justislav@gmail.com*

Статья поступила 17.04.2011, подписана в печать 28.06.2011

Построено асимптотическое приближение движущейся контрастной структуры типа всплеска для уравнения реакция–диффузия. Полученные результаты применены для важного случая кубической нелинейности.

**Ключевые слова:** контрастная структура, контрастная структура типа всплеска, асимптотика, асимптотическое приближение, уравнение реакция–диффузия.

УДК: 51-7. PACS: 02.30.Jr., 02.40.Xx.

**1. Постановка задачи. Основные условия**

Рассмотрим следующую задачу:

$$\varepsilon^2 \left( \frac{\partial^2 u}{\partial x^2} - \frac{\partial u}{\partial t} \right) = f(u, x, \varepsilon), \quad (x, t) \in (-1, 1) \times (0, +\infty), \\ u'(\pm 1, t, \varepsilon) = 0, \quad u(x, 0, \varepsilon) = u_{\text{init}}(x, \varepsilon), \quad (1)$$

 $\varepsilon > 0$  — малый положительный параметр.

Будем считать  $f(u, x, \varepsilon)$  достаточно гладкой для проводимых ниже построений. Известно, что при определенных условиях баланса на нелинейность уравнение в (1) имеет стационарные решения типа всплеска — решения, которые близки к некоторому решению вырожденного уравнения  $f(u, x, 0) = 0$  за исключением асимптотически малых (по  $\varepsilon$ ) окрестностей некоторых точек. Этот результат был получен в [1]. В работе [2] было показано, что такое решение является неустойчивым. В дальнейшем эти исследования были распространены на многомерные по пространственной переменной задачи [3, 4]. Из работы [4], в частности, следует, что стационарные всплески в (1) неустойчивы с индексом неустойчивости 1 или 2. Целью настоящей работы является асимптотическое описание движущегося всплеска, если в начальный момент времени он сформирован (начальная функция  $u_{\text{init}}(x, \varepsilon)$  представляет собой всплеск). При этом полученное решение можно интерпретировать как траекторию, соединяющую две точки покоя с разными индексами неустойчивости. Нами показано, что движение происходит в естественном направлении — от менее устойчивого стационарного положения к более устойчивому.

Задача рассматривается при следующих условиях.

**У1.** Пусть вырожденное уравнение  $f(u, x, 0) = 0$  имеет относительно переменной  $u$  корень  $u = \varphi(x)$ , причем  $f_u(\varphi(x), x, 0) > 0$  при  $x \in [0, 1]$ .

Известно, что для существования всплеска нужно, чтобы на фазовой плоскости присоединенного уравнения была сепаратриса в виде петли, что может быть сформулировано в виде следующего требования [1].

**У2.** Пусть существует функция  $\psi(x)$  такая, что

$$\int_{\varphi(x)}^{\psi(x)} f(u, x, 0) du = 0,$$

и для  $x \in [0, 1]$ 

$$f(\psi(x), x, 0) < 0,$$

причем  $\forall s \in (\varphi(x), \psi(x)), x \in [0, 1]$ :

$$\int_{\varphi(x)}^s f(u, x, 0) du > 0.$$

Точку, характеризующую положение всплеска, обозначим  $\hat{x}(t, \varepsilon)$ . Эта точка заранее не известна — она находится в процессе построения асимптотики. Будем определять ее из следующего условия:

$$\frac{\partial}{\partial x} u(\hat{x}(t, \varepsilon), \varepsilon) = 0. \quad (2)$$

**2. Алгоритм построения асимптотики****2.1. Структура асимптотики**Введем растянутую переменную вблизи  $\hat{x}$ :

$$\xi = \frac{x - \hat{x}}{\varepsilon}. \quad (3)$$

Асимптотику решения ищем в виде

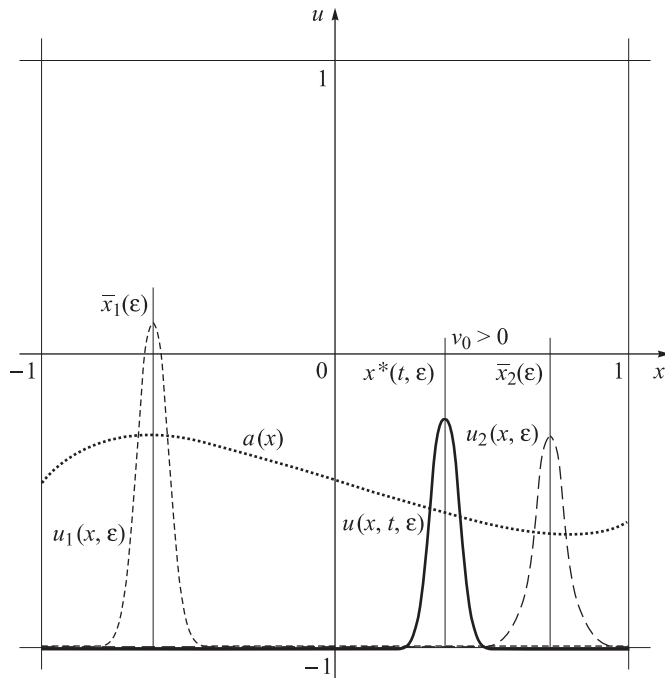
$$u(x, t, \varepsilon) = \bar{u}(x, \varepsilon) + Q(\xi, t, \varepsilon) + \Pi(\zeta, \varepsilon). \quad (4)$$

Здесь  $\bar{u}(x, \varepsilon)$  — регулярная часть асимптотики,  $Q(\xi, t, \varepsilon)$  — функции всплеска, служащие для описания контрастной структуры типа всплеска в малой окрестности точки  $\hat{x}$ , и  $\Pi(\zeta, \varepsilon)$  — функции пограничного слоя (см., например, [5]). Пограничные функции определяются стандартно, и на их построении в данной работе мы останавливаться не будем.

Каждое слагаемое в представлении (4), а также точка всплеска  $\hat{x}(t, \varepsilon)$  ищутся в виде ряда по степеням малого параметра  $\varepsilon$ :

$$\begin{aligned}\bar{u}(x, \varepsilon) &= \sum_{k=0}^{\infty} \bar{u}_k(x) \varepsilon^k, & Q(\xi, t, \varepsilon) &= \sum_{k=0}^{\infty} Q_k(\xi, t) \varepsilon^k, \\ \Pi(\zeta, \varepsilon) &= \sum_{k=0}^{\infty} \Pi_k(\zeta) \varepsilon^k, & \hat{x}(t, \varepsilon) &= \sum_{k=0}^{\infty} x_k(t) \varepsilon^k.\end{aligned}\quad (5)$$

Договоримся обозначать точкой над величиной производную по времени  $t$  и штрихом производную по пространственной переменной (по  $x$  для регулярной величины и по  $\xi$  для величин, описывающих всплеск). Введем обозначение  $v_0(t) = \dot{x}_0(t)$ .



Движение всплеска  $u(x, t, \varepsilon)$  вправо: от стационарного  $u_2(x, \varepsilon)$  с индексом неустойчивости 2 к стационарному  $u_1(x, \varepsilon)$  с индексом неустойчивости 1

## 2.2. Уравнения для определения членов асимптотики

Коэффициенты в разложениях (5) определяются по методу пограничных функций, при этом при действии параболического оператора на функции всплеска используется замена переменных  $(x, t)$  на  $(\xi, t)$ , которая приводит этот оператор к виду

$$\frac{\partial^2}{\partial \xi^2} + \varepsilon \frac{\partial}{\partial t} \hat{x}(t, \varepsilon) \frac{\partial}{\partial \xi} - \varepsilon^2 \frac{\partial}{\partial t}. \quad (6)$$

Представляя правую часть уравнения (1) по методу пограничных функций и используя (6), получим уравнения, которые используются для последовательного определения членов асимптотического приближения (5):

$$\varepsilon^2 \bar{u}''(x, t, \varepsilon) - \varepsilon^2 \dot{\bar{u}}(x, t, \varepsilon) = f(\bar{u}, x, \varepsilon),$$

$$\begin{aligned}Q''(\xi, t, \varepsilon) + \varepsilon \dot{\hat{x}}(t, \varepsilon) Q'(\xi, t, \varepsilon) - \varepsilon^2 \dot{Q} &= \\ = f(\bar{u}(\hat{x} + \varepsilon \xi, t, \varepsilon) + Q(\xi, t, \varepsilon), \hat{x} + \varepsilon \xi, \varepsilon) - f(Q(\xi, t, \varepsilon), \hat{x} + \varepsilon \xi, \varepsilon) &\equiv Qf(\xi, t, \varepsilon), \\ \varepsilon \bar{u}'(\hat{x}, t, \varepsilon) + Q'(0, t) &= 0,\end{aligned}\quad (7)$$

к которым нужно добавить условие убывания функций всплеска

$$Q_i(\pm\infty) = 0. \quad (8)$$

## 2.3. Нулевое приближение

Используя представление (7), а также (2) и (8), получаем задачи для определения членов асимптотики.

Нулевой член регулярной части асимптотики, согласно условию Y1,  $\bar{u}_0 = \varphi(x)$ .

Коэффициент  $Q_0$ , описывающий всплеск в нулевом приближении, определяется из следующей задачи:

$$\begin{aligned}Q_0'' &= f(\bar{u}_0(x_0) + Q_0, x_0, 0) - f(\bar{u}_0(x_0), x_0, 0) = \\ &= f(\bar{u}_0(x_0) + Q_0, x_0, 0), \\ Q_0'(0, t) &= 0, \quad Q_0(\pm\infty) = 0.\end{aligned}\quad (9)$$

Из анализа на фазовой плоскости [1] следует, что задача (9) в силу условия Y2 имеет нетривиальное решение. Отметим, что функция  $Q_0(\xi)$  является четной. Коэффициент  $x_0(t)$  остается пока произвольной функцией.

## 2.4. Высшие приближения

Коэффициент при первой степени  $\varepsilon$  регулярной части асимптотики определяется из уравнения:

$$f_u(\bar{u}_0(x), x, 0) \bar{u}_1(x) + f_\varepsilon(\bar{u}_0(x), x, 0) = 0.$$

Разрешимость гарантируется условием Y1. Аналогично определяются  $\bar{u}_k(x)$  для  $k \geq 2$ .

Приравнивая коэффициенты при первой степени  $\varepsilon$  в уравнении для функций всплеска, получаем задачу для  $Q_1(\xi)$ :

$$\begin{aligned}Q_1''(\xi, t) - f_u(u_0(x_0) + Q_0(\xi), x_0, 0) Q_1(\xi, t) &= q_1(\xi, t), \\ Q_1'(0, t) + \bar{u}_0'(x_0) &= 0, \quad Q_1(\pm\infty, t) = 0,\end{aligned}\quad (10)$$

где

$$\begin{aligned}q_1(\xi, t) &= -\dot{x}_0 Q_0'(\xi, t) + \\ &+ f_u(\bar{u}(\xi), x_0, 0) (\bar{u}_1(x_0) + \bar{u}_0'(x_0)(x_1 + \xi)) + \\ &+ f_x(\bar{u}(\xi), x_0, 0) (x_1 + \xi) + f_\varepsilon(\bar{u}(\xi), x_0, 0) - \\ &- f_u(\bar{u}_0(x_0), x_0, 0) (\bar{u}_1(x_0) + \bar{u}_0'(x_0)(x_1 + \xi)) - \\ &- f_x(\bar{u}_0(x_0), x_0, 0) (x_1 + \xi) - f_\varepsilon(\bar{u}_0(x_0), x_0, 0),\end{aligned}$$

и  $\bar{u}(\xi) = u_0(x_0) + Q_0(\xi)$ .

Так как однородное уравнение с условиями на бесконечности имеет нетривиальное решение  $Q_0'(\xi, t)$ , то задача (10) имеет решение в случае, если выполнено условие разрешимости

$$\int_{-\infty}^{+\infty} q_1(\xi) Q_0'(\xi) d\xi = 0. \quad (11)$$

Функция  $Q_0'$  является нечетной по аргументу  $\xi$ .

Очевидно, что слагаемые в  $q_1(\xi, t)$ , являющиеся четными (по  $\xi$ ) функциями, дают нулевой вклад в данный интеграл. Учитывая это, а также то, что

$\tilde{f}_u(x_0)\bar{u}'_0(x_0) + \tilde{f}_x(x_0) = 0$  (это равенство получается при дифференцировании по  $x$  вырожденного уравнения), условие разрешимости можно переписать в виде

$$\int_{-\infty}^{+\infty} (-v_0 Q'_0(\xi) + (\tilde{f}_u(\xi)\bar{u}'_0(x_0) + \tilde{f}_x(\xi))\xi) Q'_0(\xi) d\xi = 0, \quad (12)$$

где производные  $\tilde{f}_u(\xi)$  и  $\tilde{f}_x(\xi)$  вычисляются в точке  $(\bar{u}(\xi), x_0, 0)$ .

Это выражение можно упростить, т.к. интегрированием по частям можно показать, что интеграл от первого слагаемого подынтегральной функции равен нулю.

Окончательное выражение для  $v_0(x_0)$  следующее:

$$\dot{x}_0 \equiv v_0(x_0) = \frac{\int_{-\infty}^{+\infty} \tilde{f}_x(\xi) Q'_0(\xi) \xi d\xi}{\int_{-\infty}^{+\infty} (Q'_0(\xi))^2 d\xi}. \quad (13)$$

Таким образом, для определения  $x_0(t)$  получается дифференциальное уравнение, для которого задается начальное условие  $x_0(0)$ , определяющее положение всплеска в начальный момент времени. Отметим, что  $x_1(t)$  в этом приближении остается произвольным. Эта функция определится при рассмотрении функции всплеска  $Q_2(\xi, t)$ .

Для определения  $Q_2(\xi, t)$  приравняем коэффициенты при второй степени  $\varepsilon$  в равенстве для  $Q$ -функций из (7):

$$Q''_2 + \dot{x}_0 Q'_1 + \dot{x}_1 Q'_0 + \dot{Q}_0 = Q \tilde{f}_2, \quad (14)$$

$$Q'_2(0, t) + \bar{u}_1(x_0) + x_1 \bar{u}'_0(x_0) = 0, \quad Q_2(\pm\infty, t) = 0,$$

где  $Q \tilde{f}_2(\xi, t)$  — коэффициент при  $\varepsilon^2$  разложения функции  $Q \tilde{f}(\xi, t, \varepsilon)$ :

$$\begin{aligned} Q \tilde{f}_2(\xi) &= \tilde{f}_u(\xi) Q_2(\xi) + (\tilde{f}_u(\xi) - \tilde{f}_u(x_0)) \bar{u}_2(x_0) + \\ &+ (\tilde{f}_u(\xi) \bar{u}_0(x_0) + \tilde{f}_x(\xi)) x_2 - (\tilde{f}_u(x_0) \bar{u}_0(x_0) + \tilde{f}_x(x_0)) x_2 + \\ &+ (\tilde{f}_u(\xi) - \tilde{f}_u(x_0)) \bar{u}'_0(x_0)(x_1 + \xi)^2/2 + \\ &+ (\tilde{f}_u(\xi) - \tilde{f}_u(x_0)) \bar{u}'_1(x_0)(x_1 + \xi) + (\tilde{f}_{uu}(\xi) - \tilde{f}_{uu}(x_0)) (\bar{u}_1(x_0))^2 + \\ &+ \tilde{f}_{uu}(\xi) Q_1(\xi)^2/2 + (\tilde{f}_{uu}(\xi) - \tilde{f}_{uu}(x_0)) (\bar{u}'_0(x_0))^2(x_1 + \xi)^2/2 + \\ &+ (\tilde{f}_{ux}(\xi) - \tilde{f}_{ux}(x_0)) \bar{u}'_0(x_0)(x_1 + \xi)^2 + \\ &+ (\tilde{f}_{xx}(\xi) - \tilde{f}_{xx}(x_0)) (x_1 + \xi)^2/2 + (\tilde{f}_{\varepsilon\varepsilon}(\xi) - \tilde{f}_{\varepsilon\varepsilon}(x_0))/2 + \\ &+ (\tilde{f}_{uu}(\xi) - \tilde{f}_{uu}(x_0)) \bar{u}'_0(x_0) \bar{u}_1(x_0)(x_1 + \xi) + \\ &+ (\tilde{f}_{uu}(\xi) \bar{u}'_0(x_0) + \tilde{f}_{ux}(\xi)) Q_1(\xi)(x_1 + \xi) + \\ &+ (\tilde{f}_{ux}(\xi) - \tilde{f}_{ux}(x_0)) \bar{u}_1(x_0)(x_1 + \xi) + \\ &+ (\tilde{f}_{ue}(\xi) - \tilde{f}_{ue}(x_0)) \bar{u}'_0(x_0)(x_1 + \xi) + \tilde{f}_{uu}(\xi) \bar{u}_1(x_0) Q_1(\xi) + \\ &+ \tilde{f}_{ue}(\xi) Q_1(\xi) + (\tilde{f}_{ue}(\xi) - \tilde{f}_{ue}(x_0)) \bar{u}_1(x_0) + \\ &+ (\tilde{f}_{x\varepsilon}(\xi) - \tilde{f}_{x\varepsilon}(x_0))(x_1 + \xi). \end{aligned}$$

Учитывая представление для  $Q \tilde{f}_2(\xi, t)$ , перепишем (14) в виде

$$Q''_2(\xi, t) - \tilde{f}_u(\xi) Q_2(\xi, t) = q_2(\xi, t), \quad (15)$$

$$Q'_2(0, t) + \bar{u}'_1(x_0) + x_1 \bar{u}''_0(x_0) = 0, \quad Q_2(\pm\infty, t) = 0.$$

Эта задача аналогична задаче (10). Условие разрешимости этой задачи аналогично условию (11): правая часть  $q_2$  должна быть ортогональна  $Q'_0$ :

$$\int_{-\infty}^{+\infty} q_2(\xi) Q'_0(\xi) d\xi = 0. \quad (16)$$

Поступая точно так же, как и на предыдущем шаге, т. е. сохраняя под интегралом (16) только четные функции, получим, что от  $q_2$  надо оставить нечетную составляющую ( $Q'_0$  — нечетная функция). Из представления для  $q_2$  можно получить, что коэффициент при  $x_2$  — четная функция. Учитывая эти факты, после несложных преобразований получим линейное дифференциальное уравнение для определения  $x_1(t)$

$$\begin{aligned} \dot{x}_1 &= x_1 \frac{\int_{-\infty}^{+\infty} \left( \frac{d^2}{dx_0^2} \tilde{f}(\xi) \right) Q'_0(\xi) \xi d\xi}{\int_{-\infty}^{+\infty} (Q'_0(\xi))^2 d\xi} + \\ &+ \frac{\int_{-\infty}^{+\infty} b_1(\xi, t) Q'_0(\xi) \xi d\xi}{\int_{-\infty}^{+\infty} (Q'_0(\xi))^2 d\xi}, \quad (17) \end{aligned}$$

где  $b_1$  — известная функция

$$\begin{aligned} b_1(\xi) &= -v_0 Q'_1 + (\tilde{f}_{uu}(\xi) \bar{u}'_0(x_0) - \tilde{f}_{ux}(\xi)) Q_1(\xi) + \\ &+ (\tilde{f}_u(\xi) - \tilde{f}_u(x_0)) \bar{u}'_1(x_0) + (\tilde{f}_{uu}(\xi) - \tilde{f}_{uu}(x_0)) \bar{u}'_0(x_0) \bar{u}_1(x_0) + \\ &+ (\tilde{f}_{ux}(\xi) - \tilde{f}_{ux}(x_0)) \bar{u}_1(x_0) + (\tilde{f}_{ue}(\xi) - \tilde{f}_{ue}(x_0)) \bar{u}'_0(x_0) + \\ &+ (\tilde{f}_{x\varepsilon}(\xi) - \tilde{f}_{x\varepsilon}(x_0)). \end{aligned}$$

Решение этого уравнения с нулевым начальным условием можно выписать в явном виде.

Если функция  $f$  достаточно гладкая, то процесс определения членов асимптотического представления может быть продолжен. При этом полученная частичная сумма порядка  $n$  в задаче по невязке с точностью  $O(\varepsilon^{n+1})$ , что следует из способа ее построения.

### 3. Случай кубической нелинейности

Рассмотрим важный для многих приложений случай кубической нелинейности:

$$f(u, x) = (u^2 - 1)(u - a(x)), \quad -1 < a(x) < 1. \quad (18)$$

Задача (1) с правой частью (18) принимает следующий вид:

$$\begin{aligned} \varepsilon^2 \left( \frac{\partial^2}{\partial x^2} u - \frac{\partial}{\partial t} u \right) &= (u^2 - 1)(u - a(x)), \\ (x, t) &\in (-1, 1) \times (0, +\infty), \\ u'(\pm 1, t, \varepsilon) &= 0, \quad u(x, 0, \varepsilon) = u_{\text{init}}(x, \varepsilon). \end{aligned} \quad (19)$$

### 3.1. Стационарные решения

Стационарные решения задачи (19) есть решения следующей задачи:

$$\varepsilon^2 u''(x) = (u^2 - 1)(u - a(x)), \quad x \in (-1, 1), \quad u'(\pm 1) = 0. \quad (20)$$

Очевидно, что вырожденное уравнение имеет решения  $u(x) = \pm 1$  и  $u(x) = a(x)$ .

**Замечание.** Известно [5], что в задаче могут возникать внутренние переходные слои. Положение стационарных внутренних переходных слоев определяется корнями функции  $a(x)$ . Ниже будет показано, что положения контрастной структуры типа всплеска определяются экстремумами  $a(x)$ .

Рассмотрим случай  $a(x) < 0$  при  $x \in (-1, 1)$ . В этом случае переходных слоев нет.

Чтобы сформулировать условия существования контрастной структуры типа всплеска в уравнении (20), мы используем результаты работ [1] и [4].

**Лемма 1.** При введенных условиях и достаточно малых  $\varepsilon$  для стационарной задачи (20) выполняется: существует решение в виде контрастной структуры типа всплеска  $v_\varepsilon(x, \bar{x})$  в каждой точке  $\bar{x}$ , где  $a'(\bar{x}) = 0$ , не существует других решений в виде контрастной структуры типа всплеска.

Результаты леммы 1, приведены в [1], где были построены стационарные решения произвольного порядка точности (по  $\varepsilon$ ).

Прямой подстановкой в задачу (20) можно убедиться, что  $u = -1$  является решением, и в данном случае это регулярная часть асимптотики.

Замена

$$\tilde{u}(\xi) = Q_0(\xi) - 1 \quad (21)$$

и подстановка в задачу (9) с конкретным видом правой части (18)

$$\begin{aligned} \tilde{u}'' - (\tilde{u}^2 - 1)(\tilde{u} - a(\bar{x} + \varepsilon\xi)) &= 0, \\ \tilde{u}(\pm\infty) &= -1, \quad \tilde{u}'(0) = 0 \end{aligned} \quad (22)$$

позволяет описать семейство решений — всплесков, сосредоточенных в точках  $\bar{x}$ . Покажем, что точки  $\bar{x}$  определяются условием  $a'(\bar{x}) = 0$ .

Условие разрешимости (11) в данном случае имеет вид

$$V(\bar{x}) \equiv - \int_{-\infty}^{+\infty} a'(\bar{x})(\tilde{u}^2(\xi) - 1)\xi \tilde{u}' d\xi = 0.$$

Принимая во внимание, что  $\xi \tilde{u}'(\xi) < 0$  для всех  $\xi \neq 0$  и  $\tilde{u}^2 - 1 < 0$ , получаем, что корни  $V(\bar{x})$  совпадают с корнями  $a'(\bar{x})$ .

**Замечание.** В нестационарном случае (19) скорость движения всплеска определяется выражением (13), которое в данном случае имеет вид

$$v_0 = -a'(x_0) \frac{\int_{-\infty}^{+\infty} (\tilde{u}^2(\xi) - 1)\xi \tilde{u}' d\xi}{\int_{-\infty}^{+\infty} (\tilde{u}')^2 d\xi}. \quad (23)$$

### 3.2. Устойчивость стационарных всплесков

Устойчивость по Ляпунову стационарных контрастных структур типа всплеска задачи (19) может быть исследована на основании рассмотрения задачи на собственные значения

$$\varepsilon^2 w'' - f_u(v_\varepsilon(x, \bar{x}), x)w = \lambda w, \quad x \in (-1, 1), \quad w'(\pm 1) = 0,$$

где  $v_\varepsilon(x, \bar{x})$  — контрастная структура типа всплеска.

Неустойчивость стационарных всплесков была установлена в [2]. Точнее, там было показано, что при достаточно малых  $\varepsilon$  задача на собственные значения имеет главное собственное значение  $\lambda_0(\varepsilon)$  такое, что оно больше некоторой положительной величины, поэтому контрастная структура типа всплеска стационарной задачи неустойчива.

В работах [4] и [6] были рассмотрены многомерные по пространственной переменной аналоги задачи (19). Применение результатов этих работ к одномерному случаю приводит нас к следующей лемме.

**Лемма 2.** Для каждого стационарного всплеска  $v_\varepsilon(x, \bar{x})$  задача на собственные значения дает единственное собственное значение с

$$\lim_{\varepsilon \rightarrow 0} (\lambda_1(\varepsilon)) = 0.$$

Кроме того,

$$\lambda_1(\varepsilon) = O(\varepsilon^2)$$

и

$$\lambda_1(\varepsilon) > 0, \quad V'(\bar{x}) > 0,$$

$$\lambda_1(\varepsilon) < 0, \quad V'(\bar{x}) < 0.$$

Следовательно, мы получаем для индексов неустойчивости  $I(v_\varepsilon)$ :

$$I(v_\varepsilon) = \begin{cases} 1 & \text{для четного номера всплеска,} \\ 2 & \text{для нечетного номера всплеска.} \end{cases}$$

Результаты леммы 2 позволяют дать важную для приложений интерпретацию формулы (23) — полученное решение можно интерпретировать как траекторию, соединяющую две точки покоя с разными индексами неустойчивости. Движение происходит в естественном направлении — от менее устойчивого стационарного положения к более устойчивому.

Работа выполнена при частичной поддержке РФФИ, проект № 10-01-00319.

### Список литературы

- Бутузов В. Ф., Васильева А. Б. // Матем. заметки. 1987. **42**, № 6. С. 831.
- Васильева А. Б. // Матем. моделирование. 1991. № 4. С. 114.
- Недедов Н.Н. // Докл. РАН. 1992. **327**, № 1. С. 16.
- Недедов Н.Н. // Фундам. и прикл. математика. 2006. **12**, № 5. С. 121.
- Васильева А.Б., Бутузов В.Ф., Недедов Н.Н. // Фундам. и прикл. матем. 1998. **4**, № 4. С. 899.
- Nefedov N. N., Sakamoto K. // Hiroshima Math. J. 2003. **33**, N 3. P. 391.

**Asymptotic approximation of the moving spike type contrast structure in reaction diffusion equation**

**N. N. Nefedov<sup>a</sup>, U. V. Bozhevolnov<sup>b</sup>, V. A. Pyrkin**

*Department of Mathematics, Faculty of Physics, M. V. Lomonosov Moscow State University,  
Moscow 119991, Russia.*

*E-mail:* <sup>a</sup>nefedov@phys.msu.ru, <sup>b</sup>justislav@gmail.com.

Asymptotic approximation of the spike type contrast structure has been developed. Achieved results have been applied to an important case of third degree nonlinearity.

*Keywords:* contrast structure, spike type contrast structure, reaction-diffusion equations, asymptotic approximation.

*PACS:* 02.30.Jr., 02.40.Xx.

*Received 17 April 2011.*

English version: *Moscow University Physics Bulletin* 5(2011).

**Сведения об авторах**

1. Нефедов Николай Николаевич — докт. физ.-мат. наук, профессор; тел.: (495) 939-48-59, e-mail: nefedov@phys.msu.ru.
2. Божевольнов Юстислав Владиславович — канд. физ.-мат. наук, преподаватель; тел.: (495) 939-48-59, e-mail: justislav@gmail.com.
3. Пыркин Владимир Андреевич — студент; тел.: (495) 939-48-59, e-mail: pyrkinv@gmail.com.